УДК 665.753:620.168

А. В. Спиридонов, О. Н. Жаркова, Г. Н. Абаев, И. А. Димуду

Моделирование фракционной разгонки нефтепродуктов

с учетом погрешностей измерения температуры

реди методов анализа состава и свойств нефтепродуктов особое место занимает фракционная разгонка по ГОСТ 2177—82 (международный аналог — ASTM D—86). Кривая разгонки представляет собой функцию распределения компонентов в интервале выкипания нефтепродукта [2] и, как показано в работах [2—7], адекватно описывается уравнением

$$v = \alpha \tau^k / (1 + \alpha \tau^k) \tag{1}$$

где v — объемная доля отгона нефтепродукта; α — показатель симметричности кривой фракционной разгонки; $\tau = (t - t_{\rm H,K})/(t_{\rm K,K} - t)$ — безразмерный температурный параметр; t, $t_{\rm H,K}$, t, t, — температура соответственно текущая, начала и конца кипения нефтепродукта; k — показатель интенсивности разгонки.

Важным преимуществом фракционной разгонки является аддитивность ее функций распределения [1—7]. По результатам разгонки можно рассчитать физико-химические характеристики нефтепродуктов [8]: давление насыщенных паров, температуру вспышки, удельную теплоемкость, теплоту испарения, теплоту сгорания, энтальпию, теплопроводность, октановое число бензинов, цетановое число дизельных топлив и др.

Однако запаздывание показаний стеклянного термометра, используемого при разгонке, приводит к искажению данных о температуре [7], а следовательно, к невозможности эффективного применения моделирования на основе результатов разгонки. На рис. І представлено расположение кривых фракционной разгонки керосина, полученных с помощью двух

термометров ТН-7 (ГОСТ 400—80): инерционного и менее инерционного. Как видно, некоторое различие в инерционности термометров привело к погрешности измерения температуры в $3-8\,\degree$.

Методика проведения фракционной разгонки строго регламентирована и не предусматривает применения для измерения температуры безынерционных датчиков. Однако для эффективного решения задач на основе результатов моделирования фракционной разгонки нужна кривая, не искаженная инерционностью термометра. Поэтому возникла необходимость в разработке методики, учитывающей искажающее влияние теплоприемника термометра при разгонке и позволяющей при соблюдении требований ГОСТа располагать данными об истинных значениях температуры.

Для решения этой задачи была проведена разгонка различных нефтепродуктов (от бензинов до дизельных топлив) и их смесей по ГОСТ 2177—82 с параллельными замера-

ми температуры паров в горловине колбы и кипящей жидкости. Следует отметить, что существенных различий между показаниями стеклянного термометра ТН-7 и малоинерционной термопары при предварительном замере температуры кипящей жидкости и в процессе фракционной разгонки не наблюдалось.

На рис. 2 представлены кривые фракционной разгонки керосина, полученные при замере температуры в разных местах колбы. Как видно, кривые для жидкой и паровой фаз отличаются друг от друга. Это различие в интервале выкипания не постоянно, а убывает от начала к концу кипения.

Рассмотрим закономерности различия показаний термометра в паровой и жидкой фазах при проведении фракционной разгонки.

Запаздывание $\Delta\Theta$ в системе измерения температуры определяется по формуле [9]:

$$\Delta\Theta = b\varepsilon$$

где b — интенсивность изменения температуры в объекте измерений; ε — по-





Методы анализа

стоянная времени, характеризующая инерционность теплоприемника термометра.

Согласно [10],

$$\varepsilon = \frac{cm}{KF} = \frac{\rho Vc}{KF}$$

где c — удельная теплоемкость; m — масса теплоприемника; K — коэффициент теплопередачи, зависящий от характеристик теплоприемника и окружающей его среды; F — поверхность теплопередачи; ρ , V — соответственно плотность материала и объем теплоприемника.

При проведении фракционной разгонки с постоянной скоростью можно принять

$$b = \frac{dt}{d\tau_{\star}} = \frac{dt}{dv} = \frac{dv}{d\tau_{\star}}$$

где τ_{τ} — время фракционной разгонки, с; $dv/d\tau_{\tau}$ — скорость разгонки.

Согласно ГОСТ 2177—82, скорость разгонки должна поддерживаться постоянной, поэтому и $\varepsilon = f(v)$ в течение разгонки для данного термометра должна быть приблизительно постоянной.

Из уравнения (1) после преобразования и дифференцирования определим

$$\frac{dt}{dv} = \frac{\left(t_{\text{\tiny K.K.}} - t_{\text{\tiny H.K.}}\right) \left[\frac{v}{a(1-v)}\right]^{1/k} \left[\frac{1}{v(1-v)}\right]}{k \left\{1 + \left[\frac{v}{a(1-v)}\right]^{1/k}\right\}^2}$$
(2)

Согласно (2), при v, равном 0 (начало кипения) и I (конец кипения), производная dt/dv сводится соответственно к бесконечности и неопределенности.

Примем:

 $v_{\rm n.x} = 0.01$ — величина, приблизительно равная количеству испарившегося вещества в момент падения первой капли (объем паров в колбе и конденсаторе-холодильнике в сумме с объемом конденсата [2]);

 $v_{\kappa,\kappa} = 0.99$ — величина, соответствующая выходу дистиллята (без потерь в окружающую среду) в сумме с

конденсатом, оставшимся в конденсаторе-холодильнике.

Найлем

$$\frac{d\mathbf{v}}{dt} = \frac{\Delta\mathbf{v}}{\Delta\tau_{\tau}} = \frac{\Delta V_d/V_{\rm np}}{\Delta V_d/G_{\rm v}} = \frac{G_{\rm v}}{V_{\rm np}}$$

где ΔV_d — изменение объема дистиллята в процессе перегонки; $V_{\rm np}$ — объем исходной пробы; $G_{\rm v}$ — скорость перегонки (по ГОСТ 2177—82 составляет 4—5 мл/мин).

Представим функциональную зависимость запаздывания в системе измерения температуры $\Delta\Theta$ от параметров кривой фракционной разгонки, среднеарифметической температуры выкипания и доли отгона:

$$\frac{\Delta\Theta}{dt/dv} = \varepsilon \frac{dv}{d\tau_{\tau}} = f_1 \left(\frac{ak}{t_{\rm cn}}; v \right)$$
 (3)

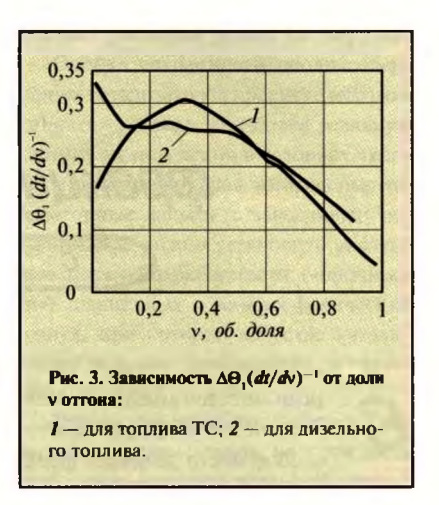
По аналогии с функцией (3) запишем

$$\frac{\Delta\Theta_1}{dt/dv}=f_2\bigg(\frac{ak}{t_{\rm cp}};\ v\bigg)$$

где $\Delta\Theta_1 = t_{\rm m} - t_{\rm n}; t_{\rm m}, t_{\rm n}$ — температура соответственно жидкой и паровой фаз; $t_{\rm cp} = (t_{\rm H.K} + t_{\rm K.K})/2$.

Следовательно, величина $\Delta\Theta_1$ включает запаздывание $\Delta\Theta$, связанное с инерционностью термометра, а также разность температур, обусловленную изменением состава паров при движении от поверхности кипящей жидкости к пароотводной трубке.

На **рис. 3** приведена данная функция для реактивного ТС и дизельного топлив. Наиболее удобно ее представить в виде полинома:



$$\frac{\Delta\Theta_{1}}{dt/dv} = A_{0} + A_{1} \frac{ak}{t_{cp}} + A_{2}v + A_{3} \frac{ak}{t_{cp}}v + A_{4} \left(\frac{ak}{t_{cp}}\right)^{2} + A_{5}v^{2} + A_{6} \left(\frac{ak}{t_{cp}}\right)^{2}v^{2}$$
(4)

Коэффициенты $A_0 - A_6$ полинома, рассчитанные методом наименьших квадратов с последующей оценкой среднеквадратичного отклонения

$$\sigma = \sqrt{\frac{\sum_{i=1}^{n} \left(t_{i} - t_{i}^{P}\right)^{2}}{n-1}}$$

приведены в табл. 1. Значение $\sigma = 3,933$ свидетельствует об адекватности полинома экспериментальным данным (имея в виду, что воспроизводимость фракционной разгонки по температуре составляет 3—4 °C).

Для уточнения математических зависимостей разности температур жидкой и паровой фаз (согласно ГОСТ 2177—82) от доли отгона дополни-

Таблица 1

	Коэффициент полинома (4)						
σ	A,	A ₅	A ₄	<i>A</i> ₃	A ₂	A ₁	A ₀
6,28		_		-1	-0,247	17,64	0,182
6,28	_	-	-	16,65	-0,422	18,37	0,174
6,28	_	_	735,2	-3,52	-0,21	17,51	0,102
3,933		-0,576	309,1	9,8	0,219	13,15	0,098
3,933	-1852	-0,371	509,3	17,46	0,139	14,43	0,063

Методы анализа

тельно были проведены эксперименты с замером температуры паров над жидкостью (см. рис. 2). Зависимость разности температур между жидкой фазой и паром над жидкостью от доли отгона для различных топлив (реактивных и дизельных) представлены на рис. 4. Характер расположения кривых этой зависимости обусловлен составом фракций и инерционностью системы измерения температуры.

Очевидно, что

$$\Delta\Theta_1 = \Delta t_1 + \Delta t_2$$

где ΔI_1 — разность температур между кипящей жидкостью и паром над этой жидкостью; ΔI_2 — разность температур между паром над жидкостью и паром около пароотводной трубки (замер согласно ГОСТ 2177—82).

Для описания кривых, приведенных на рис. 4, предложено уравнение

$$\Delta t_1 = A_0 (t_{90\%} - t_{10\%})^{A_1} (1 - v)^{A_2} (dt/dv)^{A_3}$$

В результате обработки экспериментальных данных определены его

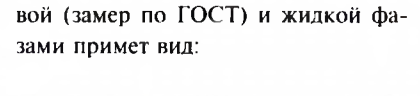
коэффициенты: $A_1 = 0.7$; $A_2 = 0.65$; $A_3 = 0.2$.

Для определения разности температур паровых фаз было проанализировано взаимное расположение этих кривых в интервале выкипания нефтепродуктов (рис. 5). Анализ показал, что разность температур во всем интервале выкипания принимает примерно постоянные значения (за исключением начальных и конечных участков интервала выкипания), присущие определенному нефтепродукту.

Данная разность увеличивается с повышением температуры кипения продукта и расширением интервала его выкипания. Это обусловлено составом фракций и разностью температур между кипящим в колбе продуктом и окружающей средой. В результате исследований получено (по аналогии с выражением для Δt_1) выражение для Δt_2 :

$$\Delta t_2 = A_1 (t_{50\%} - 20)^{1.1} (dt/dv)^{0.25}$$

В этом случае формула для расчета разности температур между паро-



$$\Delta\Theta_1 = A_0 (t_{90\%} - t_{10\%})^{0.7} (1 - v)^{0.65} (dt/dv)^{0.2} + A_1 (t_{50\%} - 20)^{1.1} (dt/dv)^{0.25}$$
 (5)

Коэффициенты уравнения (5), определенные в результате обработки экспериментальных данных методом наименьших квадратов, приведе-

Таблица 2

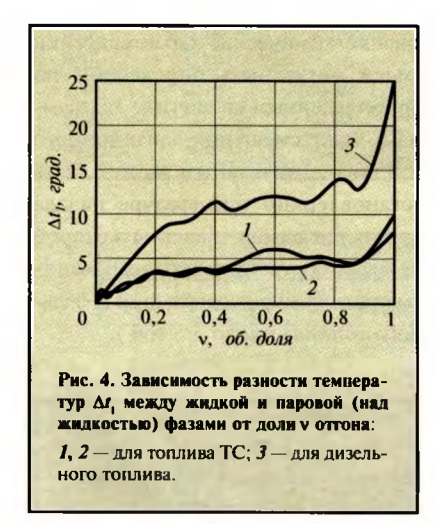
Коэффи- циент уравне- ния (5)	Паровая фаза (по ГОСТу)	Жидкая фаза
A_{0}	0,268	0,311
A_1	0,01	0,009
σ	2,807	2,993

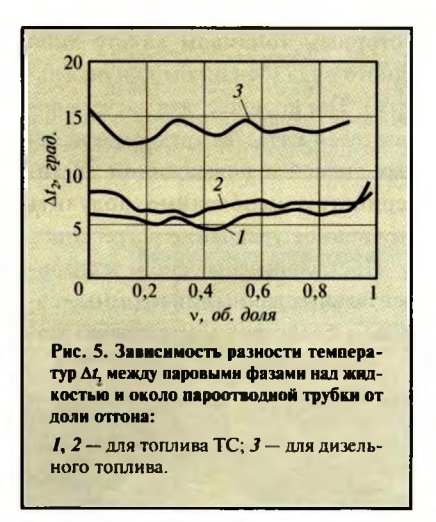
ны в табл. 2. Как видно из табл. 1 и 2, более точный результат дает уравнение (5). Отклонение в 3 ° соответствует воспроизводимости температур при проведении фракционной разгонки.

Таким образом, по предложенной в данной статье методике можно выполнять:

- расчет температур жидкой фазы на основе данных разгонки для паровой фазы (по ГОСТу), что важно при решении различных технологических задач;
- восстановление фракционной разгонки (по ГОСТу) на основе данных безынерционного замера температуры в жидкой фазе, что важно для использования обшепринятой методики оценки качества нефтепродуктов.

Выполнение этих операций необходимо для решения задач компьютеризации процессов переработки нефти по данным фракционной разгонки нефтепродуктов.





СПИСОК ЛИТЕРАТУРЫ

- Александров И. А. Перегонка и ректификация в нефтепереработке. М., Химия, 1981. — 361 с.
- Димуду И. А., Жаркова О. Н., Абаев Г. И. и др. Известия вузов. Сер. «Химия и химическая технология», 1995, т. 38, № 1—2, с. 136.
- Абаев Г. Н., Жаркова О. Н., Димуду И. А. и др. — Химическая промышленность, 1995, № 1, с. 29.
- 4. Жаркова О. Н., Димуду И. А., Абаев Г. Н. и
- *др.* XTTM, 1995, № 5, c. 38.
- Димуду И. А., Жаркова О. Н., Абаев Г. Н. и др. — Вести Полоцкого государственного университета, 1995, т. 1, № 1, с. 82.
- Dimudu I. A., Jarkova O. N., Abaev G. N.— Inzynieria Chemiczna: Procesowa, 1996, v. 17, No 4, p. 635.
- 7. Димуду И. А. Канд. дис. Новополоцк, Полоцкий государственный университет, 1996.
- 8. Рабинович Г. Г., Рябых П. М., Хохряков П. А. и др. Расчеты основных процессов и
- аппаратов нефтепереработки. Справочник / Под ред. Е. Н. Судакова. М., Химия, 1979. — 568 с.
- Кондратьев Г. М. Тепловые измерения. М., Машгиз, 1957. — 244 с.
- Дианов В. Г. Технологические измерения и контрольно-измерительные приборы химических производств. М., Химия, 1973. — 328 с.

Полоцкий государственный университет (Беларусь)